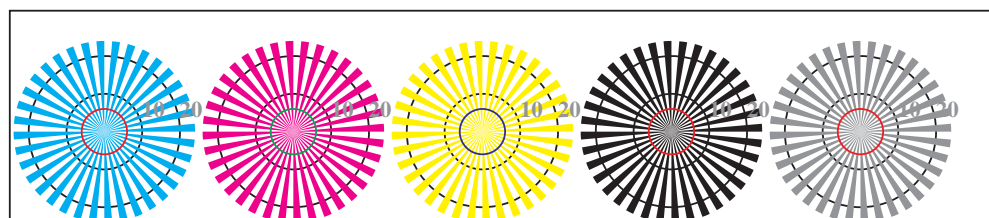
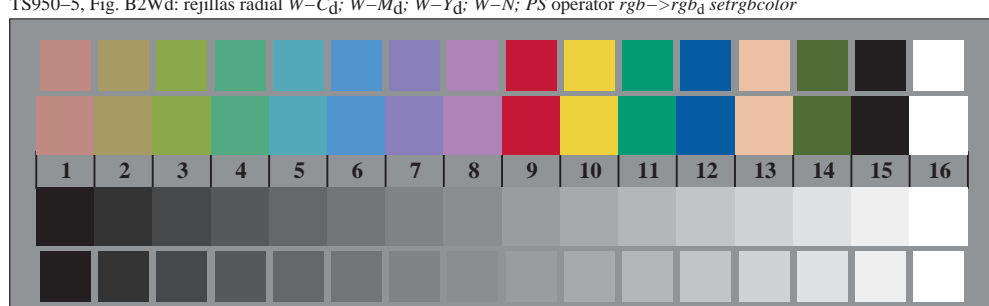


TS951-1, Fig. B4Wd: 16 equidistant pasos  $W-C_d$ ;  $W-M_d$ ;  $W-Y_d$ ;  $W-N$ ;  $rgb/cmy0 \rightarrow rgb_d$  setrgbcolor

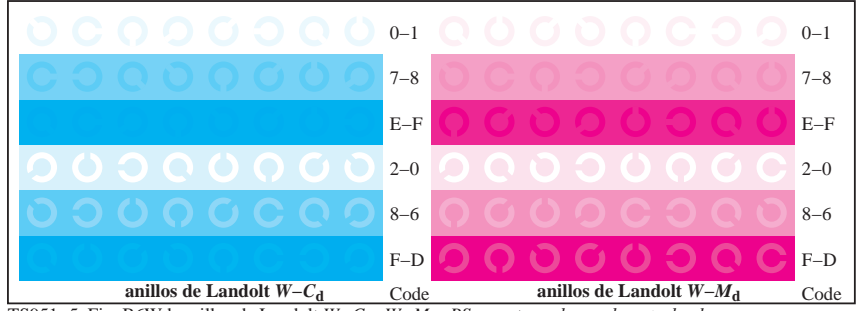
TS951-3, Fig. B5Wd: codigo y Landolt annilosN;  $C_d$ ;  $M_d$ ;  $Y_d$ ;  $Z$ ; PS operator  $rgb \rightarrow rgb_d$  setrgbcolor



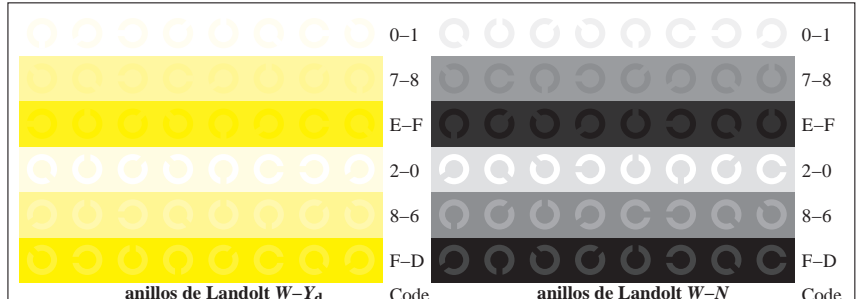
rejillas radial  $W-C_d$    rejillas radial  $W-M_d$    rejillas radial  $W-Y_d$    rejillas radial  $W-N$    rejillas radial  $W-S$



TS950-7, Fig. B3Wd: CIE 14 colores del test y 2 + 16 pasos de gris (sf);  $rgb/cm\gamma 0 \rightarrow rgb_d$  setrgbcolor



TS951-5, Fig. B6Wd: anillos de Landolt  $W-C_d$ ;  $W-M_d$ ; PS operator  $rgb \rightarrow rgb_d$  setrgbcolor



TS951-7, Fig. B7Wd: anillos de Landolt  $W-Y_d$ ;  $W-N$ ; PS operator  $rgb \rightarrow rgb_d$  setrgbcolor